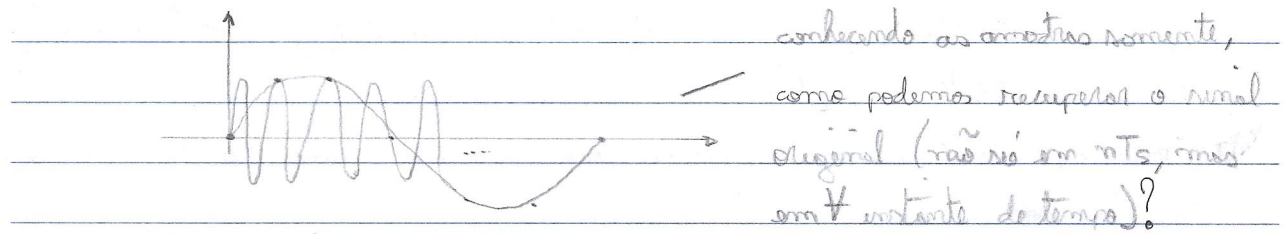


## IE550 - Processamento Digital de Sinais

### \* Amostragem

Vamos iniciar a discussão sobre amostragem olhando para a relação entre o sinal no tempo (contínuo) - uma senóide - e suas amostras.

AMOSTRAGEM PERIÓDICA:  $x(n) = x_c(nT_s)$ , onde  $T_s = 1/f_s$  = período da amostragem  
 $n = \text{interno} = \{0, \pm 1, \pm 2, \dots\}$  - unidade: amostra



•  $x(n)$  é undefined para  $n \notin \mathbb{Z}$  - não existe informação entre  $n$  e  $(n+1)$ .

Exemplo:  $\text{rem}(2\pi f_0 t) = \text{rem}(f_0 t)$       ↗ freq. discrete  
 $\Rightarrow w_0 = f_0 T_s$       ↗ freq. analógica

•  $x(n) = \text{rem}(2\pi f_0 n T_s) = \text{rem}(w_0 n)$

Sabemos que  $\text{rem}(\theta) = \text{rem}(\theta + 2\pi k) = \text{rem}(\theta + 4\pi k) \dots \Rightarrow \text{rem}(\theta) = \text{rem}(\theta + 2\pi k), k = 0, \pm 1, \pm 2, \dots$

Então,  $x(n) = \text{rem}(2\pi f_0 n T_s)$

$$= \text{rem}(2\pi f_0 n T_s + 2\pi k)$$

$$= \text{rem}\left(2\pi\left(f_0 + \frac{k}{n T_s}\right)n T_s\right)$$

$$= \text{rem}\left(2\pi\left(f_0 + \frac{k}{f_s}\right)n T_s\right)$$

Se  $k$  for um múltiplo de  $n$ ,  $m = k/n \rightarrow x(n) = \text{rem}(2\pi(f_0 + m f_s)n T_s)$

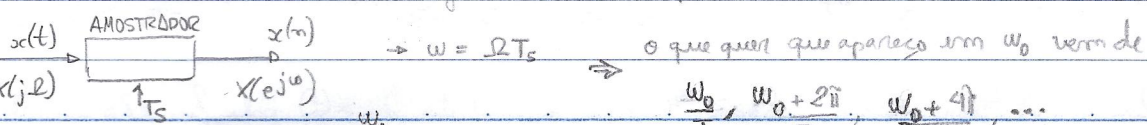
Com isto, concluímos que uma sequência  $x(n)$  representando uma senóide de  $f_0$  Hz também representa infinitos outros senóides de freqs.  $f_0 + m f_s$ . Isto, portanto, uma ambigüidade, pois freqs. separadas por  $f_s = 1/T_s$  são INDISTINGUÍVEIS após a amostragem.

E para uma sequência  $x[n]$  qualquer?

•  $x(n) = \frac{1}{2\pi} \int_{-\pi}^{\pi} X(e^{j\omega}) e^{j\omega n} d\omega$

•  $X(t) = \frac{1}{2\pi} \int_{-\infty}^{\infty} x(j\omega) e^{-j\omega t} d\omega$       indica amplitude e fase cl que  $e^{j\omega}$  aparece na composição de  $x(n)$

indica amplitude e fase cl que  $e^{j\omega t}$  aparece na composição de  $x(t)$



$w_1 = \omega_1 T_s = (\omega_0 + 2\pi f_2 T_s) T_s = \omega_0 T_s + 2\pi k \Rightarrow w_0 + 2\pi k, \omega_0, e^{j\omega_0 n} = e^{j(\omega_0 + 2\pi k)n} = e^{j\omega_1 n}$  Am ①

O conteúdo completo de frequência do sinal análogo é feito a fórmula de freqs.  $0 - 2\pi$  (ou, equivalente,  $-\pi$  a  $\pi$ ).

É de se esperar, portanto, que o valor de  $X(e^{j\omega_0})$  dependa de  $\sum_k X(j(\frac{\omega_0 + 2\pi k}{T_s}))$ , como observaremos no caso da amostragem ideal.

Exemplo:  $x_1(n) = \cos(2\pi \cdot 7/n)$  → componente de frequência 7Hz, amostrada a 6Hz.

$x_2(n) = \cos(2\pi \cdot 1/n)$  → componente de frequência 1Hz, amostrada a 6Hz.

$$\text{Então, } x_1(n) = \cos(2\pi \cdot \{1+6\}/6 \cdot n) = \cos(2\pi \cdot 1/6 \cdot n + 2\pi n) = \cos(2\pi \cdot 1/6 \cdot n) \cos(2\pi n)^2 - \sin(2\pi \cdot 1/6 \cdot n) \sin(2\pi n)$$

$$= \cos(2\pi \cdot 1/6 \cdot n) = x_2(n)$$

↳ Freqüências digitais separadas de  $2\pi$  não, na verdade, como díz nomeis para a mesma coisa.

Por causa da amostragem, surge uma relação entre as freqs. análogas e digitais:  $\omega = 2\pi T_s$ . Como  $\omega \equiv (\omega + 2\pi k)$ ,  $k=0, \pm 1, \pm 2, \dots$ , são essencialmente a mesma frequência, toda a informação de que mencionamos acerca da representação no domínio da frequência obtida está dentro do intervalo de comprimento  $2\pi$  de freqs.  $\omega$ .

↳ intervalos unicos: 0 a  $\pi$  ou  $-\pi$  a  $\pi$ .

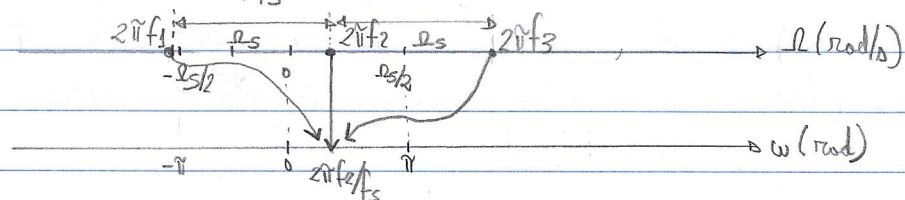
Isso tem a ver com a periodicidade de  $X(e^{j\omega})$  ( $\pi$  período  $2\pi$ ).

Explorando um pouco mais a relação de freqüências:

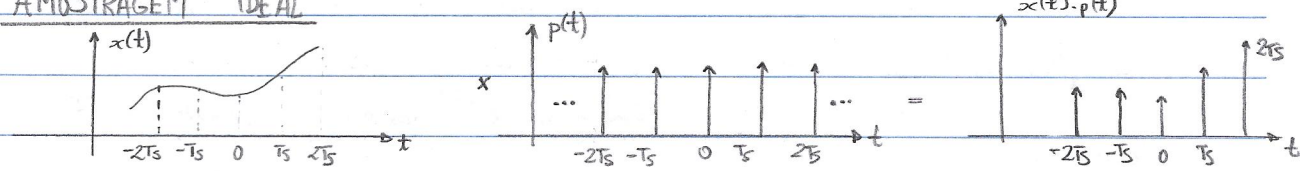
$$\cdot f=0 \rightarrow \omega = 2\pi f T_s = 0$$

$$\cdot f=f_s \rightarrow \omega = 2\pi f_s \frac{1}{f_s} = \pi$$

$$\cdot f=f_s \rightarrow \omega = 2\pi f_s / f_s = 2\pi$$



### AMOSTRAGEM "IDEAL"



Esta forma abstrata de amostragem realiza o produto de  $x(t)$  pelo função pulso.

Am ②

(train de impulsos), formando um sinal periódico c/ impulsos cujas áreas correspondem às amplitudes de  $x(t)$  nos instantes de amostragem.

$$x_a(t) = x(t) \cdot \sum_{k=-\infty}^{\infty} \delta(t-kT_s) = \sum_{k=-\infty}^{\infty} x(kT_s) \delta(t-kT_s)$$

Vamos olhar p/ o espectro de  $x_a(t)$ :

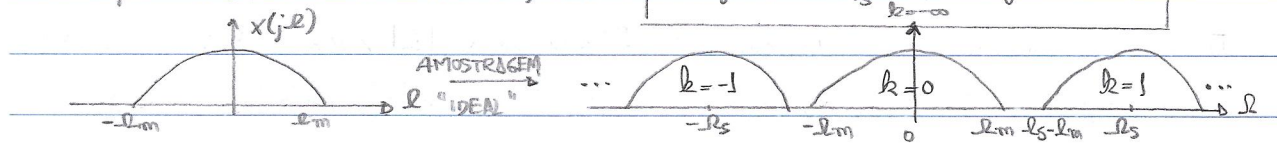
$$X_a(j\omega) = \frac{1}{2\pi} \times (j\omega) * \int \{ x(t) \}$$

Isto, a representação em série de Fourier de  $x(t)$  é  $\frac{1}{T_s} \sum_{k=-\infty}^{\infty} e^{j\frac{2\pi k}{T_s} \omega t}$ . Via transf.

$$\text{de Fourier, temos que } P(j\omega) = 2\pi/T_s \sum_{k=-\infty}^{\infty} \delta(\omega - 2\pi k/T_s) = 2\pi/T_s \sum_{k=-\infty}^{\infty} \delta(\omega - k\omega_s)$$

$$\text{Então, } X_a(j\omega) = \frac{1}{2\pi} \times (j\omega) * \frac{2\pi}{T_s} \sum_{k=-\infty}^{\infty} \delta(\omega - k\omega_s)$$

$$\text{Dado que } H(j\omega) * \delta(\omega - \omega_0) = h(\omega - \omega_0), \text{ então } X_a(j\omega) = \frac{1}{T_s} \sum_{k=-\infty}^{\infty} X(j(\omega - k\omega_s))$$



A partir do sinal amostrado  $x_a(t)$ , é possível recuperar (recompor) o sinal completo  $x(t)$  usando um filtro passa-baixas ideal, o qual captura a componente espectral centrada em  $\omega = 0$  ( $k=0$ ) e elimina os demais resplendores.



A recuperação do sinal não é possível se as componentes espectrais em  $X_a(j\omega)$  não estiverem sobrepostas. O fenômeno denominado aliasing ocorre se o tempo entre amostras for muito grande, i.e., se a freq.  $\omega_s$  for pequena em comparação à velocidade de variação do sinal (i.e., em relação a  $\omega_m$ ).

Para evitar aliasing, a condição é que  $\omega_s > \omega_m$

$$\text{TAXA DE NYQUIST: } \omega_s = 2\omega_m$$

$$T_s = \pi/\omega_m$$

Mas não armazenamos  $x_a(t)$ , armazena  $x(n)$ .

$$x_a(t) = \sum_{k=-\infty}^{\infty} x(kT_s) \delta(t-kT_s)$$

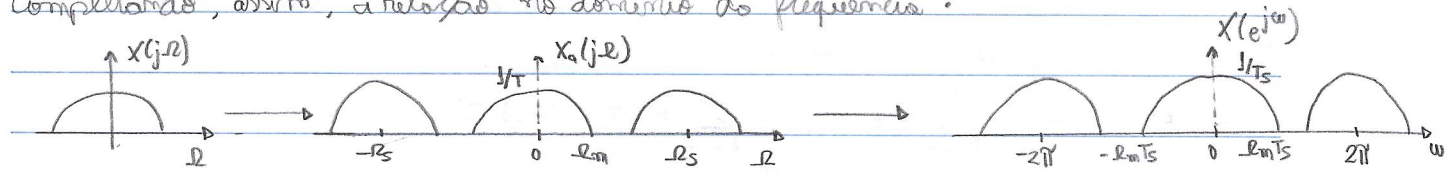
$$\text{Aplicando Fourier: } X_a(j\omega) = \sum_{k=-\infty}^{\infty} x(kT_s) \int \{ \delta(t-kT_s) \} = \sum_{k=-\infty}^{\infty} x(kT_s) e^{-jk\omega T_s}$$

$$\text{Notando a notação: } x(kT_s) = x(k), \omega T_s = \omega \text{ e } X_a(j\omega) = X(e^{j\omega})$$

$$\text{Então, } X(e^{j\omega}) = \sum_{k=-\infty}^{\infty} x(k) e^{-jk\omega} \rightarrow \text{é a famosa expressão da transformada de Fourier para sinalis discretas}$$

11

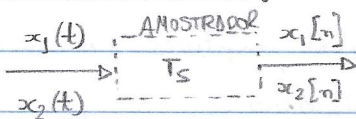
Completando, assim, a relação no domínio do frequêncial:



Acabamos vendo - primeiramente, intuitivamente e, agora, formalmente - análogo entre os espectros análogos e digitais; além disso, observamos o surgimento de replicas espectrais via amostragem ideal, a qual leva a um espectro (digital) periódico, fato já esperado por conta da ambigüidade de frequências (repetições de  $\Omega_s$  e/ou  $2\pi$ ).

\* TEOREMA DA AMOSTRAGEM (NYQUIST-SHANNON) : seja  $x(t)$  um sinal a tempo contínuo e limitado em banda com  $X(j\Omega) = 0$  para  $|\Omega| \geq \Omega_m$ . Então,  $x(t)$  é único e perfeitamente representado por suas amostras  $x[n] = x(nT_s)$ ,  $n = 0, \pm 1, \pm 2, \dots$ , caso  $\Omega_s = 2\pi/T_s > 2\Omega_m$ .

Por que estritamente maior?



$$\sin(\Omega_m n) = 0, \forall n$$

$$x_1(t) = \cos(2\pi f_{s/2} t + \theta) \xrightarrow[\text{freq. m.}]{\text{amostrado com } 2(\pi f_s)} x_1[n] = \cos(2\pi f_{s/2} \cdot n/f_s + \theta) = \cos(\Omega_m n + \theta) = \cos \Omega_m \cos \theta$$

$$x_2(t) = \cos(2\pi f_{s/2} t) \xrightarrow[\text{amostrado com } 2(\pi f_s)]{} x_2[n] = \cos(2\pi f_{s/2} \cdot n/f_s) \cdot \cos \theta = \cos \Omega_m \cos \theta$$

Vira,  $x_1(t) \neq x_2(t)$ , porém  $x_1[n] = x_2[n]$  (teoricamente, pluma freq. de amostragem "segura"). Portanto, NÃO sabemos dizer qual sinal análogo - ambos com frequência  $f_{s/2}$  - gerou o sinal digital. Isto demonstra que  $f_{s/2}$  NÃO é bem representada na amostragem.

#### \* RESUMO DA AMOSTRAGEM "IDEAL" E PROCESSAMENTO DIGITAL

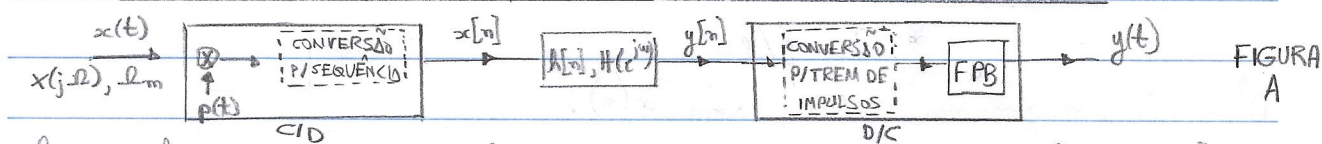
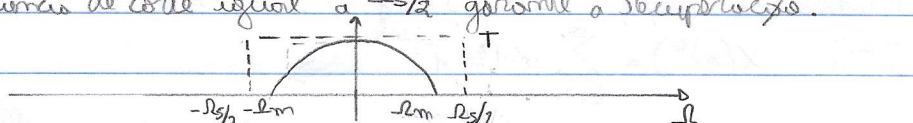


FIGURA  
A

Vamos olhar com mais detalhes a reconstrução de  $x(t)$  a partir de  $x[n]$ .

• como  $\Omega_s > 2\Omega_m$ ,  $\Omega_m < \Omega_s/2$ . Por isso, um FFB ideal - respondendo fórmula de Nyquist - com frequência de corte igual a  $\Omega_s/2$  garante a sincronização.



Vamos a fórmula para bairros faz no domínio do tempo?

$$x_s(t) = x_a(t) * h_{FBP}(t), \text{ onde } h_{FBP}(t) = \frac{1}{2\pi} \left\{ \frac{1}{j\omega - \frac{\pi}{T_s}} \right\}$$

$$\text{Vira, } h_{FBP}(t) = \frac{1}{2\pi} \int_{-\pi/T_s}^{\pi/T_s} e^{j\omega t} d\omega$$

$$= \frac{1}{2\pi} \int_{-\pi/T_s}^{\pi/T_s} e^{j\omega t} d\omega = \frac{1}{2\pi} \left[ \frac{e^{j\omega t}}{jt} \right]_{-\pi/T_s}^{\pi/T_s} = \frac{1}{2\pi} \left[ \frac{e^{j\pi/2 t}}{jt} - \frac{e^{-j\pi/2 t}}{jt} \right]$$

$$= \frac{1}{2\pi} \cdot \frac{2\pi}{T_s} \frac{\sin(\pi/2 t)}{t} = \frac{\sin(\pi/2 t)}{t}$$

Sendo assim,  $x_s(t) = x_a(t) * \left[ \frac{\sin(\pi/2 t)}{t} \right]$

$$= \sum_{k=-\infty}^{\infty} x(k) s(t-kT_s) * \left[ \frac{\sin(\pi/2 t)}{t} \right]$$

$$= \sum_{k=-\infty}^{\infty} x(k) \frac{\sin(\pi/2(t-kT_s))}{t} , \forall t \in \mathbb{R}, \quad \omega_s = 2\pi/T_s$$

- se  $t = mT_s$ ,  $\frac{\sin(\pi/2 t)}{t} = \frac{\sin(\pi/2 m)}{m} = \begin{cases} 1, & \text{caso } m=0 \\ 0, & \text{caso } m \neq 0 \end{cases}$

Como  $x_s(t) = \sum_{n=-\infty}^{\infty} x(n) h_{FBP}(t-nT_s)$  - convolução, concluimos que nos instantes  $t = mT_s$ ,  $x_s(mT_s) = x(m)$  (as demais amostras  $x(n)$  não interferem, pois  $h_{FBP}(kT_s)$  é zero p/  $k \neq 0$ ). Daí, o sinal que reconstruímos conforme a fórmula de interpolação leva tom exatamente os mesmos valores que o sinal contínuo original nos instantes de amostragem (esse independe do período de amostragem).

- O sistema da figura A mistura elementos de processamento/filtragem a tempo contínuo com sequências e sistemas a tempo discreto. Vamos, então, encontrar algumas relações de equivalência.

$$x[n] = x(nT_s)$$

$$X(e^{j\omega}) = \frac{1}{T_s} \sum_{k=-\infty}^{\infty} x(k) \left( \frac{e^{j\omega T_s}}{T_s} - \frac{e^{j\omega T_s}}{T_s} \right) = \frac{1}{T_s} \sum_{k=-\infty}^{\infty} x(k) (1 - e^{-j\omega T_s})$$

Quando  $x[n]$  passa pelo filtro ( $h[n]$ ), obtemos  $y[n] \rightarrow Y(e^{j\omega})$ .

A saída do conversor D/C é dada pelo fórmula de interpolação:

$$y(t) = \sum_{n=-\infty}^{\infty} y(n) \cdot h_{FBP}(t-nT_s)$$

$$y(jT_s) = \sum_{n=-\infty}^{\infty} y(n) \cdot H_{FBP}(jT_s) \cdot e^{-jnT_s}$$

$$= H_{FBP}(jT_s) \cdot \sum_{n=-\infty}^{\infty} y(n) \cdot e^{-jnT_s}$$

$$= H_{FBP}(jT_s) \cdot \underbrace{Y(e^{j\omega})}_{\omega = jT_s} = \begin{cases} T_s \cdot Y(e^{j\omega T_s}), & |T_s| < \frac{\pi}{2} \\ 0, & \text{caso contrário} \end{cases}$$

este ajuste do sinal de freqs. equivalente  
a gerar o sinal de impulsos a partir das amostras

Am 5

⊕ Caso especial:  $h[n] \longleftrightarrow H(e^{j\omega})$  é um sistema LTI

- neste caso,  $Y(e^{j\omega}) = X(e^{j\omega}) \cdot H(e^{j\omega})$

- combinando esta expressão c/ a anterior, vemos que  $Y(j\omega) = H_{FB}(j\omega) \cdot H(e^{j\omega T_s})X(e^{j\omega T_s})$

Substituindo a expressão de  $X(e^{j\omega})$ , temos

$$Y(j\omega) = H_{FB}(j\omega) H(e^{j\omega T_s}) \cdot \left[ \frac{1}{T_s} \sum_{k=-\infty}^{\infty} x(j\omega - 2\pi k/T_s) \right]$$

- se  $x(t)$  tem banda limitada, de modo que  $X(j\omega) = 0$  para  $|\omega| > \omega_s/2$ , então o filtro "ideal" de reconstrução cancela o fator  $1/T_s$  e relaciona somente a componente p/  $k=0$  do sinal acima. Ou seja,  $Y(j\omega) = \begin{cases} H(e^{j\omega T_s}) X(j\omega), & |\omega| < \omega_s/2 \\ 0, & \text{caso contrário} \end{cases}$

Sendo assim,

$$Y(j\omega) = H_{efetivo}(j\omega) \cdot X(j\omega), \text{ onde } H_{efetivo}(j\omega) = \begin{cases} H(e^{j\omega T_s}), & |\omega| < \omega_s/2 \\ 0, & \text{c.c.} \end{cases}$$

⇒ Isto significa que o sistema inteiro - que inclui uma passagem ao domínio discreto - é equivalente a um sistema LTI cuja resposta em frequência efetiva é dada acima.

A importância do processo de amostragem e desta equivalência deve ser ressaltada: é possível obter resultados análogos de interesse (e.g., a derivada de  $x(t)$ ) por meio do processamento a tempo discreto da amostra da unidade da entrada.

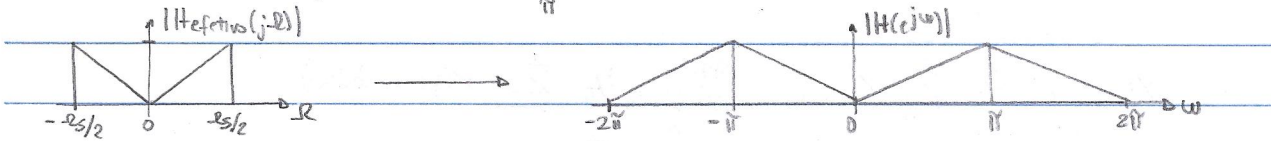
EXEMPLO : SISTEMA DIFERENCIADOR -  $y(t) = d/dt x(t)$

• Por Fourier, sabemos que  $H(j\omega) = j\omega$ .

• Supondo unidade de banda estrita,  $H_{efetivo}(j\omega) = \begin{cases} j\omega, & |\omega| < \omega_s/2 \\ 0, & \text{caso contrário} \end{cases}$

O sistema discreto equivalente seria

$$H(e^{j\omega}) = j\omega/T_s, \quad |\omega| < \frac{\omega_s \cdot T_s}{\pi} \quad \rightarrow \text{é periódica c/ período } 2\pi.$$



A resposta ao impulso verá:  $h[n] = \frac{1}{2\pi} \int_{-\pi}^{\pi} (jw/T_s) \cdot e^{jwn} dw = \frac{T_s \cos \pi n - \cos \pi n}{\pi n^2 T_s^2}, \quad -\infty < n < \infty$ , ou

$$h[n] = \begin{cases} 0, & n=0 \\ \frac{\cos \pi n}{n^2 T_s^2}, & n \neq 0 \end{cases}$$

→ é possível estabelecer uma relação entre a resposta ao impulso do filtro análogo equivalente e aquela associada ao filtro discreto  $h[n]$ :  $h[n] = T h(n T_s)$  é esta maneira de se obter a resposta impulsiva direta originária a um método de projeto de filtros.

## Perspectivas mais realistas de amostragem

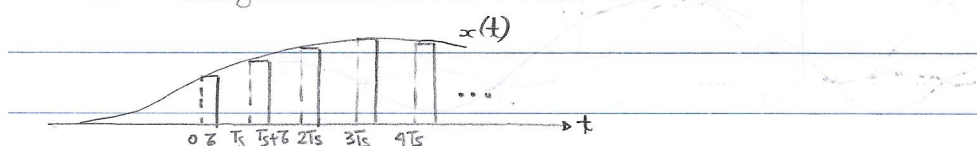
### \* Filtro anti-aliasing

- taxas de amostragem menores tendem a minimizar a carga de processamento computacional exigida - menos amostras têm de ser processadas
- re-aentrada não é limitada em banda (o sinal tem duração finita no tempo, o espectro tende a ser infinito) ou a frequência de Nyquist será muito elevada, pré-filtragem é importante.
- mesmo que o sinal seja limitado em banda, ruído aditivo de banda larga pode conter conteúdo de alta frequência que, caso ignorado, produz aliasing. Neste caso, o uso de um filtro anti-aliasing.

IDEAL:  $H_{AA}(j\omega) = \begin{cases} 1, & |\omega| < \omega_c < \frac{\omega_s}{2} \\ 0, & |\omega| \geq \omega_c \end{cases}$

- exemplo: amáis de fato poderiam ser limitados (apendice suplementar) a 20 kHz.
- na prática, é bastante caro preparar um filtro analógico ideal de anti-aliasing (pode ser não-causal, resposta de fase altamente não-linear) com uma transição quase instantânea entre banda de passagem e banda de rejeição.
- INTERESSANTE: o projeto do filtro anti-aliasing pode ser facilitado se amostrarmos o sinal a uma taxa maior que a de Nyquist - oversampling.
- esta ideia, combinada com técnicas digitais de ação das taxas de amostragem (interpolação e decimagem), permite que se trabalhe com o volume de dados desejado (i.e., a taxa desejada) e que o filtro AA seja um pouco mais simples.

### \* Seguidor de ordem zero



Seja  $h_0(t)$  . Podemos expressar o sinal amostrado como

$$x_{an}(t) = \sum_{k=-\infty}^{\infty} x(kTs) \cdot h_0(t - kTs)$$

Contudo,  $\sum_k h_0(t - kTs) = h_0(t) * \sum_k \delta(t - kTs)$ . Então,

$$x_{an}(t) = h_0(t) * \underbrace{\sum_k x(kTs) \delta(t - kTs)}_{\text{amostragem ideal}} = h_0(t) * x_a(t)$$

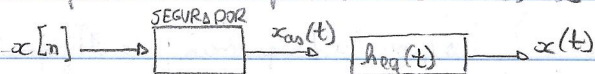
1 /

No domínio da frequência,  $X_{as}(j\omega) = X_a(j\omega) \cdot \mathcal{F}\{h_0(t)\} = X_a(j\omega) \cdot [e^{-j\frac{\omega T_s}{2}}] \cdot ZSa(\frac{\omega T_s}{2})$

•  $X_{as}(j\omega)$  é igual a  $X_a(j\omega)$ , exceto pelo fator multiplicativo representado pelo Sampling.

•  $X_{as}(j\omega)$  possui versões deslocadas de  $X_a(j\omega)$ , mas não é periódico, pois cada componente é multiplicada por um ganho proporcional ao  $Sa(\cdot)$ .

Como recupero  $x(t)$  a partir dos amostrados?



$$X(j\omega) = X_{as}(j\omega) \cdot H_{eq}(j\omega)$$

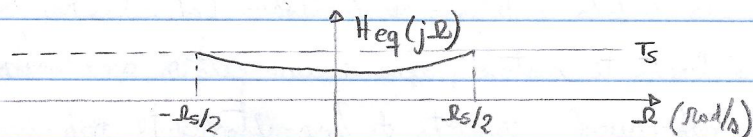
$$X(j\omega) = \left[ \sum_{k=-\infty}^{\infty} X(j(\omega - k\frac{2\pi}{T_s})) \right] \cdot e^{-j\frac{\omega T_s}{2}} \cdot ZSa(\frac{\omega T_s}{2}) \cdot H_{eq}(j\omega)$$

- devemos pegar a componente espectral centrada em  $\omega=0$ .

- porém, temos de corrigir o ganho do filtro p/ reverter o efeito do Sampling.

Assim,  $H_{eq}(j\omega) = \frac{1}{e^{-j\frac{\omega T_s}{2}} ZSa(\frac{\omega T_s}{2})} \cdot T_s$ ,  $|\omega| < \omega_s/2$

→ poderia ser descartado, pois trata-se apenas de um atalho



Na prática, o conversor D/A é caracterizado por um pulso  $h_p(t)$ , de modo que

$$x_R(t) = \sum_{n=-\infty}^{\infty} x[n] h_p(t-nT_s).$$

↓

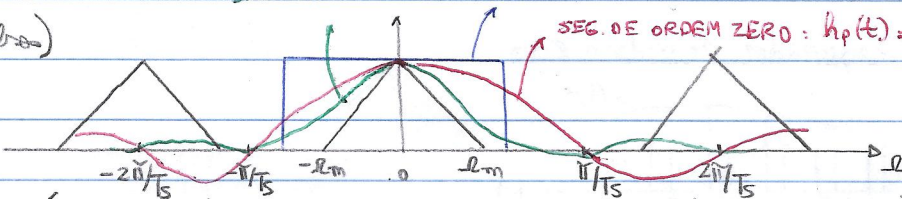
$$X_R(j\omega) = \sum_{n=-\infty}^{\infty} x[n] \int_{-\infty}^{\infty} h_p(t-nT_s) e^{-j\omega t} dt = \sum_{n=-\infty}^{\infty} x[n] \cdot e^{-j\omega nT_s} \cdot H_p(j\omega)$$

$$= X(e^{j\omega T_s}) \cdot H_p(j\omega)$$

é o espectro da seq.  $x[n]$   
ajustado p/ a freq.  $\omega$   
(i.e., termo de impulso)

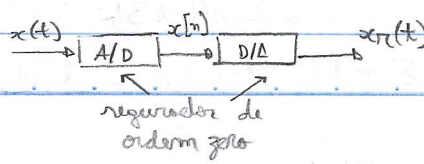
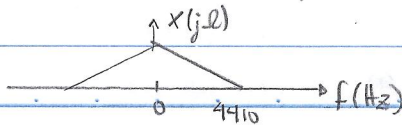
SEG. DE ORDEM UM:  $h_p(t) = \text{triângulo}$   
IDEAL:  $h_p(t) = \text{sinc}$  - FPB

SEG. DE ORDEM ZERO:  $h_p(t) = \text{retângulo}$



Os pulsos práticos distorcem a forma do freqs. de entregar e introduzem componentes de alto frequência.

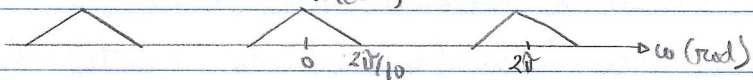
\* Voltando à questão de oversampling



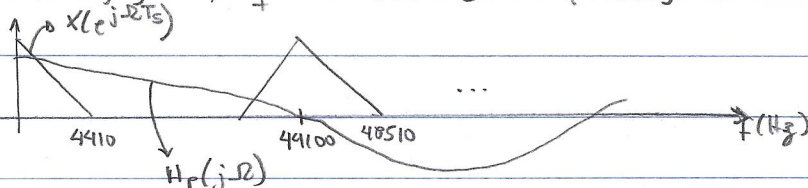
Am ⑧

a)  $f_s = 44100 \text{ Hz}$

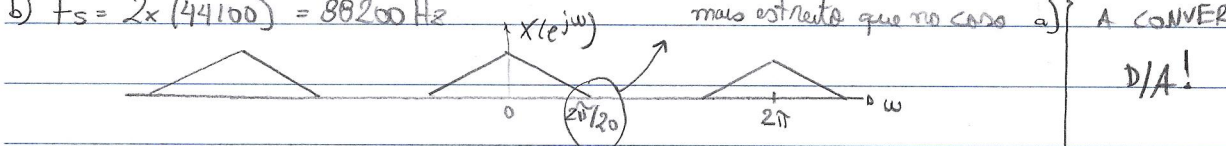
Pelo mapeamento de freqs,  $\omega_{\text{MSX}} = \frac{4410 \cdot 2\pi}{44100} = 2\pi/10$



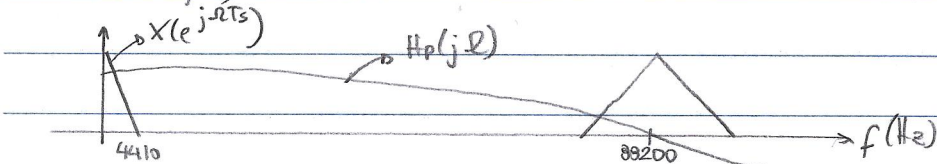
Na reconstrução, a freq.  $2\pi$  vira  $f_s = 2\pi \cdot (44100)$ .



b)  $f_s = 2 \times (44100) = 88200 \text{ Hz}$

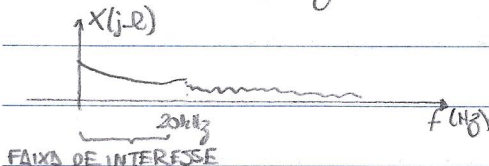


Na reconstrução,  $2\pi$  vira  $2\pi f_s = 88200 \cdot 2\pi$



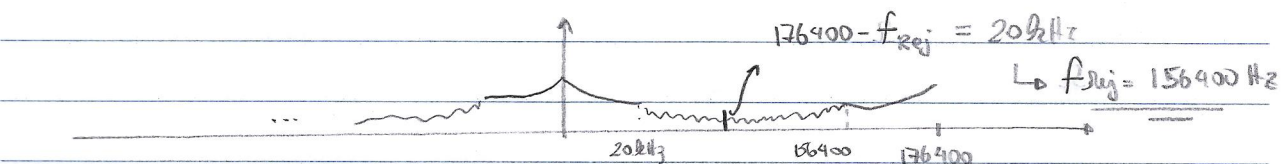
- Menos distorções na faixa de frequências de interesse.
- Como não há conteúdo em torno de 44100 Hz, podemos usar um filtro para bandas mais simples após o conversor D/A.

FE o anti-aliasing?



- se eu for amostrar a 40kHz, não haverá aliasing, o filtro anti-aliasing teria de ser IDEAL.

- se eu for amostrar a 176400 Hz



P/ não ocorrer aliasing na região de 20kHz, a cópia da réplica situada em 176400Hz não pode atingir 20kHz. Se usar um filtro anti-aliasing lento que deixe

11

passar o conteúdo de  $X(j\omega)$  até 156900Hz, ainda assim, ao efetuar a amostragem e, posteriormente, a recuperação, fico com a região de 0 a 20kHz intacta.

CONCLUSÃO: OVERSAMPLING SIMPLIFICA O FILTRO ANTI-ALIASING !

→ A amostragem de ruídos passa-faixas (ou em banda passante) ficará como exercícios p/ os alunos.